

OKSIDNE RUDE SVINČEVIH IN CINKOVIH ORUDENENJ GORNO (BERGAMO – ITALIJA)

Stanko Grafenauer

S 6 slikami v prilogi

Med specializacijo v Heidelbergu* mi je kolega ing. F. Gregorac izročil povprečen vzorec zmlete rude iz kraja Gorno v okolici Bergama, da ga pregledam in določim, katere minerale vsebuje. Podatki o mineraloškem sestavu, paragenezi, načinu zraščenja, vškropljenosti, stopnji oksidacije itd. so potrebni za pravilen način oplemenitenja rude.

Splošno o rudišču

Rudišče Gorno severno od Bergama v Italiji pripada hidrotermalnemu metasomatskemu tipu rudišč vzhodnoalpske geosinklinale. Sistematski pregled rudišč in njihovo stratigrafsko zvezo v sklopu te geosinklinale je prikazal Schneider (1957, s. 243). V bergamskih Alpah je bila orudena tudi karnijska in ne le ladinska stopnja, kakor je sicer navadno v ostalih vzhodnoalpskih svinčevih in cinkovih rudiščih. Ruda tega rudišča je izredno močno oksidirana in kaže znake neposrednega nastanka iz sulfidnih rud *in situ*, kakor tudi znake poznejših notranjih premeščanj (regeneracij) in prekristalizacije.

Rudna telesa so zelo nepravilno razporejena v apnencih in dolomitih. Nastopajo v gnezdih, večjih ležiščih in drugih nepravilnih oblikah, mimo tega nahajamo tudi rudne cevi, ki so komplikirano sestavljene, in imajo mnoge razvejitve in odcepe. Mineralna parageneza je zelo preprosta. Poleg mineralov, ki jih je našel Gregorac (gelenit, sfalerit, cerusit, smitsonit, kalamina in vilemit), nastopa še cela vrsta drugih mineralov (anglezit, hidrocinkit, cinkit, bakrena medlica, pirit, markazit, hematit, limonit, getit). Kot jalovi minerali nastopajo kalcit, dolomit, kremen in kalcedon.

Priprava vzorca za halkografsko preiskavo

Pripravo vzorca zmlete rude in izdelavo obruska opisujejo že Cadwell (1959), Cohen (1957), Colbertaldo (1952), Edwards (1955), Schneiderhöhn (1952), Wachromejew (1954) in drugi,

* Avtorju je omogočil delo »Sklad Borisa Kidriča«, ki mu je dodelil maja 1957 stipendijo za strokovno specializacijo v inozemstvu.

vendar sem se držal izključno ustnih Ramdorjevih navodil, ki so le delno objavljena (1955).

Zmleto rudo sem prepariral s pomočjo smole znamke »Araldit Gießharz B«, ki ji je bilo treba dodati strjevalec »Härter 901«. Obročke iz bakelita prečnika 26 mm sem položil na litoželezno ploščo, nekoliko premazano s silikonom, in nasul vanje tanek sloj zmlete rude. Zrna zmlete rude so bila povprečno drobnejša od 3 mm. V posebni posodici sem raztopil smolo pri 120 °C in nato dodal strjevalec ter mešal toliko časa, da so se nehalli izločati mehurčki. Za en obrus sem potreboval 6 do 7 g smole in 2 do 2,3 g strjevalca. Navadno sem delal 10 obruskov hkrati. Nato sem vlij smolo v obročke in jo strjeval 14 do 16 ur pri 100 °C. Araldit se je pokazal kot izredno uspešno sredstvo za izdelavo obruskov iz separacijskih produktov, posebej zato, ker čvrsto prilepi zrnca, ki pri poliranju in brušenju sicer rada izpadajo.

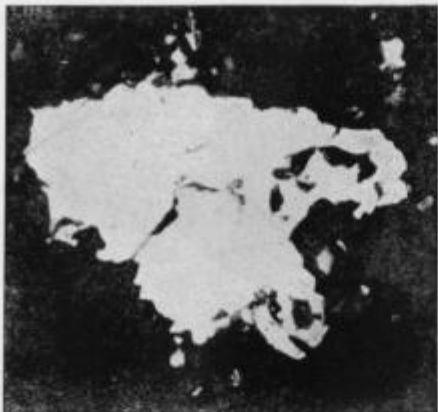
Pri prepariraju lažji delčki lahko uidejo nekoliko navzgor in tako ne bi dobili nikakor pravega povprečja za koncentrat. V tem primeru si pomagamo s centrifugiranjem, s čimer izravnamo razlike v teži. Seveda sme biti pri tem postopku premer obruskov za koncentrat le 16 do največ 20 mm.

Preparat sem nadalje poliral in brusil na Rehwaldovem stroju. Lahko pa se dela tudi ročno. Z »diamantno« ploščo odrezan kos rude ali pa prepariran neobdelan obrus v obročku brusimo najprej na okrogli plošči iz litega bazalta premera 40 cm. Plošča je sestavljena iz ovalnih avgitnih kristalov in se pri brušenju približno dvajsetkrat bolj počasi obrabi kot druge plošče. Najprej brusimo ročno s karborundom No. 1400 (približno 280 minutni karborund) najmanj 5 minut. Nato brusimo strojno z istim karborundom na plošči za brušenje in poliranje, ki ima premer okroglo 20 cm in se obrača 400 do 800-krat na minuto okrog svoje osi; prevlečena je z biljardnim suknom ali pa dobro tkanim tankim nylonskim blagom. To brušenje traja najmanj 15 minut. Po brušenju poliramo obrusek najmanj 5 minut na blagu z zelenim kromoksidom. Seveda ta oksid ni za pretrde minerale. Končno poliramo z magnezijo usto največ 1 minuto. Zelo važna je pri brušenju in poliranju največja čistoča in izpiranje med posameznimi stopnjami.

Mineraloški sestav in struktura rude

Pri finozrnatem zraščenju anglezita, cerusita in smitsonita je diagnoza teh prozornih mineralov v rudnem obrusku precej težavna. Za diagnozo teh mineralov se je zelo dobro obnesel Vuja novičev (1955) način strukturnega jedkanja. Poleg navadno uporabljenega jedkanja je Vuja novič uvedel tudi jedkanje s parami. Ponašanje mineralov napram tekočinam ali param je prikazal v dveh tabelah.

Galenit je v povprečnem vzorcu izredno redek. Nastopa v osnovi, zelo redko pa v zrnčih. Jedkanje robov kaže, da je rekristaliziran. Zrnca imajo večinoma premer izpod 70μ . Zraslost galenita s sfaleritom in produkti njegove oksidacije gredo navzdol celo do 1μ . Galenit je nekoliko srebrnosen in vsebuje včasih kot primes bakreno medlico (te-

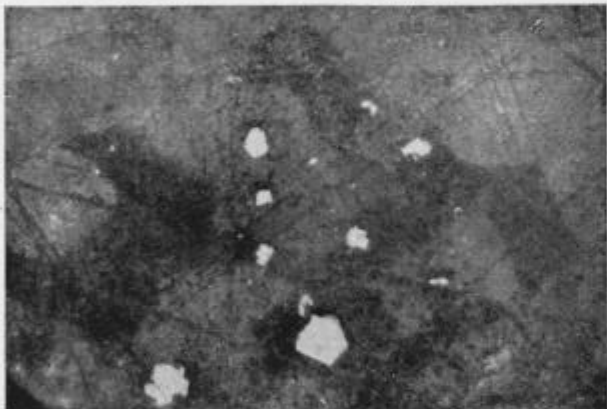


1. slika

Galenit, tenantit, sfalerit, pirit, smitsonit v Gorno, Bergamo. Odsevna svetloba, 1 nikol, olje, 450 \times . Galenit (bel) vsebuje tenantit (za odtenek temnejši od galenita). Svetlobela zrna so pirit, sivkasta zrna sfalerit in temnosiva smitsonit.

Abb. 1.

Bleiglanz, Tennantit, Zinkblende, Pyrit, Smithsonit von Gorno-Bergamo. Auflicht, 1 Nikol, Olimmersion, 450 \times . Bleiglanz (weiß) enthält (etwas dunkler) Tennantit. Hellweiße Körner sind Pyrit, grau Zinkblende und dunkelgrau Smithsonit.

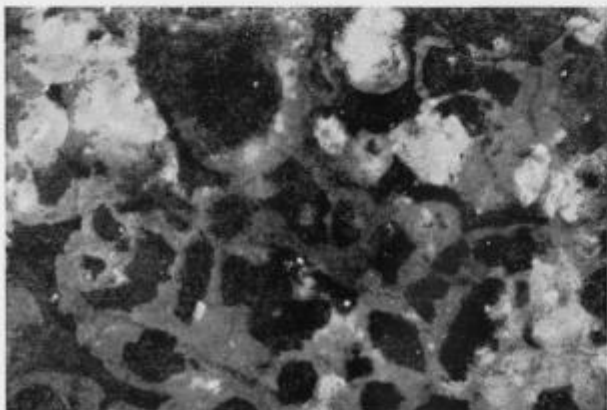


2. slika

Cerusit, pirit, goetit v Gorno, Bergamo. Odsevna svetloba 1 nikol, olje, 170 \times . Cerusitna zrna (svetlo in temneje siva) so močno pleochroična in vsebujejo zrna piritja, ki se po razpokah izpreminjajo v goetit (temnosiv v belih zrnih piritja).

Abb. 2.

Cerussit, Pyrit, Nadeleisenerz von Gorno-Bergamo. Auflicht, 1 Nikol, Öl, 170 \times . Cerussitkörner (hell und dunkelgrau) sind stark pleochroatisch und enthalten Pyritkörner, welche längst Spalten im Nadel-eisenerz (dunkelgrau in weißen Pyritkörnchen) verändert sind.

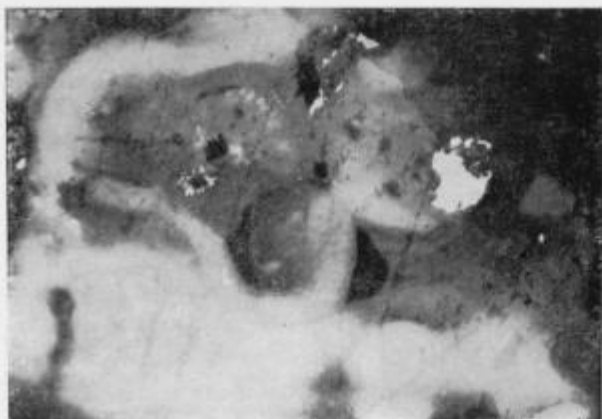


3. slika

Smitsonit in cinkit s kremenom v Gorno, Bergamo. Odsevna svetloba, 1 nikol, olje, 170 \times . Kremenva zrna so obkrožena s stvimi zrni smitsonita in drobnimi stvlejšimi zrnci cinkita.

Abb. 3.

Smithsonit und Zinkit mit Quarz von Gorno-Bergamo. Auflicht, 1 Nikol, Öl, 170 \times . Die Quarzkörner (schwarz) sind mit Smithsonit (grau) und feinkörnigen Zinkitkörnern (heller) umrandet.

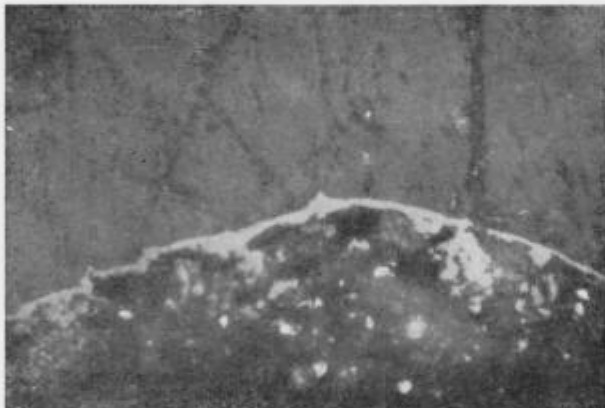


4. slika

„Galmaj“, Gorno, Bergamo. Odsevna svetloba, 1 nikol, olje, 150 \times . Sfalerit (bel), izpremenjen v smitsonit (siv) in conarni hidrocinkit in kalamino (ki se ne ločita med seboj v fotografiji, sicer ju je možno ločiti le po anizotropiji).

Abb. 4.

Galmei von Gorno-Bergamo. Auflicht, 1 Nikol, Öl, 150 \times . Zinkblende (weiß) verändert in Smithsonit (grau) und Zonargefüge von Hydrozinkit und Calamin (in Abbildung nicht unterscheidbar).

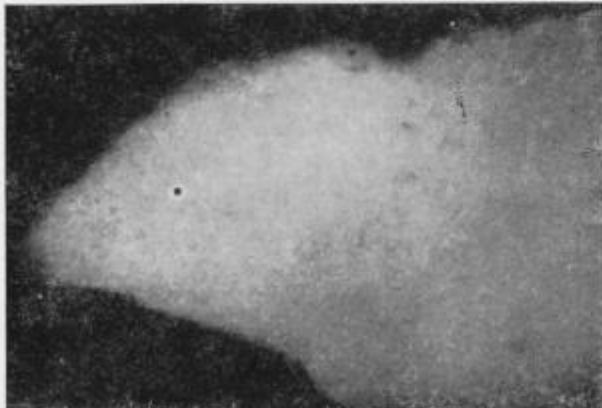


5. slika

Smitsonit s hematitno skorjico, Gorno, Bergamo. Odsevna svetloba, 1 nikol, olje, 400 \times . Siv smitsonit obdaja svetlosiv hematit in nato mu sledi navzven temnosiv limonit. V smitsonitu vidimo nekaj iskrice pirita.

Abb. 5.

Smithsonit mit Hämatitkruste von Gorno-Bergamo. Auflicht, 1 Nikol, Öl, 400 \times . Um Smithsonit (grau) zuerst eine Hämatitkruste (hellgrau) und dann Brauneisen (dunkelgrau). Man sieht auch einige Pyritfünkchen.



6. slika

Vilemit, Gorno, Bergamo. Odsevna svetloba, 1 nikol, olje, 140 \times . Izredno drobnozrnat agregat s številnimi notranjimi refleksi. Sem in tja v njem svetle pikice (sfalerit in pirit).

Abb. 6.

Willemit von Gorno-Bergamo. Auflicht, 1 Nikol, Öl, 140 \times . Außerordentlich feinkörniger Aggregat mit vielen Innenreflexen. Hier und da sieht man auch helle Zinkblende- und Pyritfünkchen.

nantit), ki se pod mikroskopom v olju lepo loči od galenita (1. slika); je nekoliko temnejša, trša in ima zelenkast odtenek v svetlo sivkastobelji barvi. V tenantitu je bakru vedno izomorfno primešano srebro, arzenu pa antimon.

Z galenitom so ob robovih izredno drobno prerasli pirit, markazit in sfalerit. Bakrena medlica se drži vedno bolj ob robovih in razpokah galenita. Pri tem je videti, da je starejšo medlico izrinil mlajši galenit. Nosilec srebra v rudi je torej medlica. Ker se drži bolj ob robovih galenita z drugimi minerali, pri drobljenju lahko prehaja v precejšnji količini v jalovino.

Galenit je povečini močno oksidiran in se izpreminja v zelo redek anglezit in cerusit. Oba minerala tvorita ali finozrnat agregat ali pa kristale. Zrna cerusita so navadno nekoliko večja od 120 do $140\ \mu$ in kažejo tipične, za cerusit značilne oblike (2. slika). Finozrnat cerusit nastaja pravzaprav iz anglezita, ki ga izriva proti robovom galenitne osnovne mase. Kot opisuje Vujanović (1955) za Seddas Moddizzis, gradi žveplo, ki se osvobaja na ta način, kakor tudi žveplo, nastalo pri razpadanju sulfidov, sekundarni galenit. Na ta način nastali galenit se izloča povečini ob robovih primarnega galenita, je zelo disperzen in vedno prerasel z anglezitom ali s cerusitom ali pa z obema.

Galenit oksidira navadno ob robovih, redkeje v notranjosti. Prav tako vidimo, da včasih razpadajo kristali ob robovih, včasih pa tudi v smereh razpok cepljivosti. Redkeje opazujemo indikacije razpadanja v conah. Anglezit in cerusit izrivate včasih osnovno maso v žilicah.

Sekundarni galenit izriva anglezit in cerusit, vidimo celo potiskanje smitsonita. Prav tako kot opisuje to Vujanović (1955), nastopa tudi v našem primeru večkrat disperzna mešanica galenita z enako disperznim anglezitom in cerusitom, kar kaže na skoraj istočasno ali pa celo istočasno izločanje vseh treh mineralov.

Bivši pirit in markazit, ki sta bila vrasla v galenit, sta močno izpremenjena v hematit, limonit in getit.

Sfalerit nastopa v zelo podrejeni količini, deloma v zelo velikih zrnih celo preko $1 \times 1\ \text{mm}^2$. Je zelo siromašen z železom, kar vidimo po njegovih svetlih notranjih refleksih. Vurcita in grinokita v vzorcu nisem opazil, tudi ne kakih značilnih conarnih struktur sfalerita in grinokita. Sfalerit je zelo razjeden in oksidiran. Preraslost s smitsonitom gre od 10 do $20\ \mu$ (3. slika). V njem nastopajo včasih številna vrasla zrna prita, ki so povprečno zelo drobna (do $3\ \mu$).

V vsem vzorcu prevladujejo produkti oksidacije sfalerita. Sfalerit razпадa skoraj popolnoma enako kakor galenit; razlika je le, da proces zavzema povečini vso maso, pri galenitu pa bolj robeve in razpoke. V začetni fazi razpadanja se tvorijo smitsonitna zrnca ob kontaktih sfaleritnih zrn. V tej fazi je videti smitsonit kot nepopoln cement. Nadaljnje razpadanje povzroči nadaljnje izrivanje sfalerita, tako da ga najdemo čez nekaj časa le še kot finozrnat agregat v smitsonitni osnovni masi.

Na mestih, kjer je nastopal sfalerit, je večkrat nastala interesantna reliktna struktura. Bivši kristali kalcita so psevdomorfno nadomeščeni s kremenom premera 30 do 100 μ , sfalerit pa, ki je prej obkrožal medprostope, tvori sedaj smitsonitne skorjice. Zraslost gre navzdol od 10 do 20 μ (3. slika). Mlajši kremen in kalcedon (včasih tudi galenit) izrivata sfalerit često po robovih in tvorita na ta način neke vrste psevdostrukturo razpadanja sfalerita. Taka ali podobna preraščanja so tudi v ujanovici otežkočala raziskave oksidnih rud. Posebno neugodna so preraščanja sfalerita s cerusitom in anglezitom, če sta ta dva minerala nastala iz galenita, ki je nadomestil sfalerit po robovih. Raziskave so še posebej otežkočene, če nastopa ob kontaktih teh mineralov s sfaleritom še nekaj smitsonita.

S smitsonitom nastopajo zelo redko tudi zelo drobna zrnca cinkita (z rdečkastimi notranjimi refleksi).

Precejšnja količina kremena je morda vodila do napačnih podatkov za separacijo podjetja Gorno; sklepali so na večje količine kalamine in vilemita. Oba minerala pa sta relativno redka, kalamina nastopa v glavnem skupaj s hidrocinkitom in vilemitom na mestih oksidacije, kjer je bila na razpolago kremenica. Pri tem nastopajo tipične oksidacijske conarne strukture, posebno tipične za hidrocinkit in kalamino (4. slika). Hidrocinkit je izredno drobnozrnat in ga ločimo od kalamine po birefleksiji pri večji povečavi. Razlika v trdoti, jedkanje itd. se ne morejo uporabiti za diagnozo, ker so zrna premajhna. Poleg nastopa tudi limonit in včasih hematit, ki sta produkt oksidacije pirita in markazita v sfaleritu. Včasih nastopa kot ostanek še drobnozrnat pirit.

Smitsonit je obkrožen včasih s tanko skorjico hematita in dalje z limonitom (5. slika). Nastopajo tudi conarni smitsoniti, katerih cone so izgrajene iz smitsonita in limonita. Limonitne cone so nastale morda iz izloženega železa iz conarnega smitsonita. Ta pojav skorjice hematita in limonita okrog smitsonita vsekakor otežkoča flotiranje smitsonita.

Vilemit nastopa deloma v zelo drobnih zrnčih skupaj z ostalimi cinkovimi minerali v »galmaju«, kjer ga je izredno težko ločiti od kalamine, v glavnem le delno po obliki, delno po karakteristični barvi in notranjih refleksih. Da je prisoten tudi v večjih koščkih, sem ugotovil s pomočjo fluorescentne žarnice (mineralight). Zrnca vilemita namreč močno fluorescirajo. Večji skupki vilemita imajo dimenzije 140 do 700×60 do $300 \mu^2$ in so sestavljeni iz izredno drobnih zrnec (6. slika); vsebujejo še drobna zrnca preostalih sulfidov (sfalerit, pirit itd.).

Zrnca relativno pogostnega pirita so po razpokah izpremenjena v hematit, limonit in getit in imajo velikost 20 do 35μ ; mnogokrat so zdrobljena in imajo premer izpod 10μ . Izpreminjanje pirita v hematit vidimo na 2. sliki. Največja piritna zrna imajo celo do 70μ ; pod veliko povečavo lahko opazimo, da se vzdolž lamel (101) in (011) izpreminjajo v 1μ debele markazitne lističe s karakterističnimi pleohroičnimi barvami.

Kalcitna in dolomitna zrna so delno rekristalizirana in imajo lepe dvojnične lamele v ogromnih kristalih, povečini pa so dimenzije 100 do 500μ . V njih je pirit vrasel v drobnih zrnčih, celo drobnejših od $1,5 \mu$.

Iz opisanih podatkov o posameznih mineralih vidimo, da je za razklop pri flotaciji potrebno rudo iz Gorna drobiti izpod $100\text{ }\mu$ za razklop kalcita, izpod $30\text{ }\mu$ za razklop kremena od rude in izpod $10\text{ }\mu$ za razklop galenita od sfalerita. Istih dimenzijs se je potrebno držati za razklop oksidnih od sulfidnih mineralov. Seveda gre zraslost galenita in sfalerita deloma navzdol do $1\text{ }\mu$ in je potrebno empirično ugotoviti optimalno ločenje in razklop.

Našteval sem v glavnem povprečja, ki sem jih dobil na osnovi vzorca. Na vsak način bi se z mikroskopskim opazovanjem posameznih drobljenih frakcij izredno hitro in učinkovito dala ugotoviti razklopitev (Grafenauer, 1948, Grafenauer-Zore, 1948).

Zaključek

Kot je že pisal Agricola leta 1550, je potrebno pri rudarskem delu posvetiti čim večjo pažnjo raziskavam rudnega materiala. Na osnovi mikroskopske preiskave rudnega vzorca zlahka ugotovimo sestav rude in način njenega oplemenitenja. Ruda kraja Gorno predstavlja produkt močnih oksidacijskih procesov po orudnenju. V oksidnih rudah nastopajo sulfidni ostanki. Oksidne rude kažejo makro- in mikroskopsko conarne znake neposrednega postanka iz sulfidnih rud *in situ*, kakor tudi znake poznejšega premeščanja in rekristalizacije.

Pri finozrnatem zrašenju prozornih mineralov je diagnoza anglezita, cerusita in smitsonita precej težavna. Vujanović je prav zato izdelal nov način jedkanja za diagnozo teh mineralov.

DIE OXYDATIONSERZE DER BLEI-ZINKLAGERSTÄTTE GORNO BEI BERGAMO (ITALIEN)

Die Lagerstätte Gorno nördlich von Bergamo (Italien) gehört zum Typus der hydrothermalen Verdrängungsbleizinklagerstätten in triassischen Karbonatgesteinen der ostalpinen Geosynklinale. Eine systematische Übersicht dieser Lagerstätte gab Schneider (1957, S. 243). Die Blei- und Zinkerze sind stark oxydiert und zeigen die Anzeichen von späteren internen Umlagerungen.

Die Vorbereitung von Muster für die mikroskopische Arbeit wurde nach der Anleitung von Professor Ramdohr vollzogen. Zerkleineretes Erz wurde in das Gießharz Araldit B eingebettet und mit Härtter 901 gehärtet. Die Bakelitringe mit dem 20 mm Durchmesser wurden auf eine mit Silikon gefettete Gußplatte gelegt in welche eine dünne Schicht von Erzkörnchen gelegt wurde. Das Gießkarz wurde bei 120°C in einer Schale geschmolzen, Härtter zugegeben und alles bis Blasenbefreiung gut umgerührt. Für einen Anschliff braucht man 6 bis 7 g Araldit und 2 bis 2,3 g Härtter. Gießharz wird dann in die Bakelitringe eingegossen und bei 100°C 14 bis 16 Stunden ausgehärtet. Dann folgt Schleifung und Polierung auf der Rehwaldmaschine.

Bei der diagnostischen Arbeit der oxydischen Pb-Zn-Erzmineralien habe ich die Vujanović Methode erfolgreich angewendet. Seine Tabellen 1. und 2. zeigen das Verhalten oxydischer Blei-Zinkerze gegen flüssige und dampfförmige Ätzmittel.

Im Erz treten Bleiglanz, Zinkblende, Cerussit, Anglesit, Smithsonit, Calamin (Hemimorphit + Smithsonit), Willemit, Pyrit, Markasit, Hämatit, Brauneisen, Nadeleisenerz, Fahlerz, Hydrozinkit, Zinkit, Quarz, Chalcedon, Calcit und Dolomit auf.

Im Bleiglanz sind Silberspuren und zwar im Fahlerz als Silberträger (Abb. 1). Bleiglanz ist an den Rändern mit Pyrit, Markasit und Zinkblende verwachsen. Bleiglanz ist stark oxydiert und verändert sich in Cerussit (Abb. 2) und selten in Anglesit. Neben dem ursprünglichen Bleiglanz kommt auch der stark dispergierte mit Anglesit und Cerussit (bis zu $1\text{ }\mu$) verwachsen vor.

Zinkblende kommt sehr untergeordnet vor und meistens stark oder ganz in Smithsonit verändert. In ihr sieht man verwachsene, weiter in Hämatit, Nadeleisenerz und Brauneisen veränderte Pyritkörner. Auf den Stellen der früheren Zinkblende findet man mehrmals eine schöne Reliktsstruktur (Abb. 3). Primäre Calcitkristallchen sind pseudomorph durch Quarz verdrängt, Zinkblende in Zwischenräumen bildet dagegen schöne Smithsonitkrusten. Zusammen mit Smithsonit treten selten auch winzige Zinkitkörner auf. Willemit und Calamin sind sehr selten. Daneben findet man Hydrozinkit, wobei sich manchmal typische oxydische Zonarstrukturen zeigen (Abb. 4). Smithsonit ist manchmal in eine Hämatitkruste und weiter Brauneisenringe eingehüllt (Abb. 5). Diese Erscheinung von Hämatit um Smithsonit erschwert ziemlich die Smithsonitflotierung.

Willemit kommt in außerordentlich feinen Körnchen vor, die größere Aggregate bilden (Abb. 6) und auch winzige Körnchen von Restsulfiden (Zinkblende, Pyrit usw.) enthalten.

Die relativ häufige Pyritkörner sind längst Spalten in Hämatit, Brauneisen und Nadeleisenerz verwandelt.

Gefüge und Ausmaß von Körnern fordern für eine gute Aufschließung eine Zerkleinerung unter $10\text{ }\mu$. Die Zinkblende und Bleiglanzverwachsung geht sogar bis $1\text{ }\mu$ und es ist notwendig den optimalen Grad und die Güte der Zerkleinerung erfahrungsgemäß festzustellen und die Aufschließung mit Mikroskop weiter zu überwachen.

LITERATURA

- Agricola, A., 1550, De re metallica, 1. knjiga, Basileae.
Cadwell, E. P., 1959, Color microscopy for the mill man, Eng. and Min. Journal, Vol. 160, No. 1.
Cissarz, A., 1958, Charakteristik jugoslawischer Blei-Zink-Erzlagerstätten, Frühjahrstagung der Deutschen Geologischen Gesellschaft in Essen (Poročilo).
Cohen, E., 1957, Simple microscopy for plant control in mineral dressing. Int. min. dressing congress, VIII. Stockholm.

Colbertaldo di, D., 1952, Le preparazioni delle sezioni lucide e sottili di minerali e di sabbie. Ind. mineraria, Roma.

Edwards, A. B., 1955, Textures of ore minerals, Melbourne.

Grafenauer, S., 1948, Nekaj iz flotacijske prakse. Ind. Vestnik, št. 9, Ljubljana.

Grafenauer, S. in **Zorc, A.**, 1948, Poročilo o mrežnih in mikroskopskih analizah flotacijskih produktov z dne 21. V. do 4. VI. in od 11. VI. do 23. VI. 1948, Mežica (Poročilo).

Ramdohr, P., 1955, Die Erzminerallien und ihre Verwachsungen, Berlin.

Schneider, H. J., 1957, 1959, Diskussion, Diskussionstagung über das Thema »Entstehung von Blei-Zinkerzlagerstätten in Karbonatgesteinen«, München 1956. Berg. u. Hüttenmännische Mh., H. 9, 1957, in dalje ista diskusija: Diskussionstagung in Bleiberg zum Thema »Die Entstehung von Blei-Zinklagerstätten in Karbonatgesteinen«. Erzmetall, H. 5, 1959.

Schneiderhöhn, H., 1952, Erzmikroskopisches Praktikum, Stuttgart.

Vujanović, V., 1955, Die Oxydationserze der metasomatischen Blei-Zinkerzlagerstätte Seddas Moddizzis (Sardinien) und ihre erzmikroskopischen Identifizierungsmethoden, N. Jahrb. Mineral. Abh., Mh., 89, Stuttgart.

Wachromejew, S. A., 1954, Erzmikroskopie, Berlin.